

07

© 1991

ГЕНЕРАЦИЯ СУБНАНОСЕКУНДНЫХ ИМПУЛЬСОВ ИЗЛУЧЕНИЯ

Г.А. М е с я ц, В.В. О с и п о в,
В.И. С о л о м о н о в

В последнее время неуклонно растет интерес к исследованиям, связанным с генерацией и усилением импульсов излучения субнаносекундной длительности. Получение таких сигналов, в частности, когерентного излучения, обеспечивается вырезанием короткого импульса из более длительного, или выделением отдельного пика из пучка импульсов, генерируемых лазером в режиме синхронизации мод [1, 2].

В настоящей работе предлагается метод получения импульсов света субнаносекундной длительности, в котором последняя достигается за счет соответствующей длительности накачки. Такой подход может быть реализован при накачке конденсированных сред электронным пучком субнаносекундной длительности. Полученные таким образом импульсы излучения могут оказаться полезными в спектроскопии, при исследовании быстропротекающих процессов, для накачки лазеров на конденсированных средах и т.п.

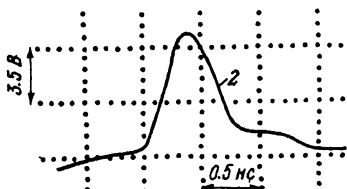
Субнаносекундный электронный пучок формировался по схеме, приведенной в [3]. Высоковольтный импульс длительностью 2–3 нс и амплитудой 200–300 кВ производился генератором импульсов напряжения (ГИН) от малогабаритного ускорителя электронов „РАДАН-300“. Этот импульс подавался на сжимающую линию, состоящую из обостряющегося и срезающего разрядников. Укороченный до 0.3–0.5 нс импульс через передающую линию поступал на взрывоэмиссионный катод вакуумного диода, анодом которого служила алюминиевая фольга. Исследовались характеристики излучения широкозонного полупроводника CdS , кристаллы которого располагались непосредственно за анодной фольгой. Они могли охлаждаться до температуры жидкого азота.

На рис. 1 приведены осциллограммы световых импульсов, полученных с графитовым катодом диаметром 6 мм. Максимальная мощность светового излучения (0.6 МВт) достигалась при температуре кристаллов, равной температуре жидкого азота (2), и она уменьшалась в ~2.2 раза при нагреве кристаллов до комнатной температуры (1). При этом длительность импульса света в пределах статистической погрешности не изменялась и ее среднее значение равнялось $\tau_u = 0.46$ нс по полувысоте.

Осциллограммы световых импульсов фиксировались фотоэлектрическим преобразователем ФК-26 и скоростным осциллографом

Рис. 1. Осциллограммы импульсов светового излучения.

1 - при комнатной температуре кристалла CdS , 2 - при температуре жидкого азота.



С7-19. Временное разрешение системы не хуже 0.3 нс.

При изменении температуры кристаллов изменялся спектральный состав излучения (рис. 2), который регистрировался спектрографом ИСП-30. С понижением температуры максимум спектральной полосы сдвигался в синюю область. Максимальное смещение полосы достигало ~ 20 нм при изменении температуры кристаллов от комнатной (2) до температуры жидкого азота (1).

Малая, по сравнению с ожидаемой, мощность излучения потребовала исследования ограничений, накладываемых на процесс преобразования в свет энергии, накопленной в формирующей линии ГИНа. В экспериментах предполагалось, что излучение по форме повторяет импульс электронного пучка. Такое предположение основано на том, что характерное время затухания люминесценции [4]

$$\tau = (BG)^{-1/2},$$

определенное коэффициентом межзонной рекомбинации B и скоростью генерации электронно-дырочных пар

$$G = j \epsilon (ed\mathcal{E}_n)^{-1}$$

мало (при наших параметрах электронного пучка $G = 2.8 \cdot 10^{28} \text{ см}^{-3} \cdot \text{с}^{-1}$ $\tau \leq 0.5$ нс). Здесь j , ϵ , d - плотность тока электронного пучка, энергия электронов в пучке и глубина их проникновения в кристалле соответственно, e - заряд электрона, \mathcal{E}_n - энергия образования электронно-дырочной пары.

Было установлено, что на передачу энергии из формирующей линии в электронный пучок не влияет волновое сопротивление формирующей и передающей линий в диапазоне 40–100 Ом, а уменьшение длины межэлектродного вакуумного промежутка от 4.2 до 2.5 мм приводит лишь к незначительному увеличению энергии. При использовании катода в виде стальных острый, расположенных по окружности диаметром 6 мм с шагом 1 мм при энергии, запасаемой в формирующей линии 1 Дж, в электронный пучок передается 1–2 мДж. После установки сплошного графитового катода (\varnothing 6 мм) энергия в электронном пучке возрасала до 6–7 мДж, а длительность тока на полувысоте увеличивалась от 0.3 до 0.5 нс.

Такое поведение может быть связано со спецификой работы взрывоэмиссионных катодов в режиме генерации субнаносекундных

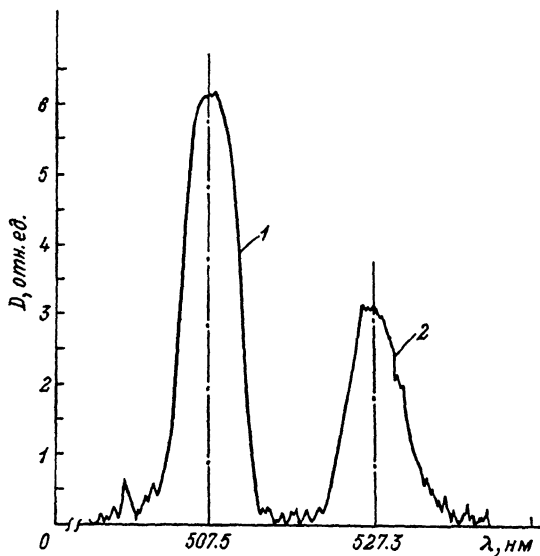


Рис. 2. Денситограммы спектра излучения кристалла CdS .

1 – кристалл при температуре жидкого азота, 2 – при комнатной температуре.

импульсов. Поскольку время образования вблизи катода сплошного плазменного слоя после взрыва микроострий в нашем случае больше времени формирования электронного пучка, то последний может состоять из отдельных токовых нитей. Их число будет соответствовать количеству взорванных микроострий, а плотность тока в них должна регулироваться законом „ $3/2$ “.

Для проверки этого положения на анодную алюминиевую фольгу наклеивались кристаллы CdS в виде мозаики с характерным по-перечным размером кристаллов 0.5 мм. При использовании катода из стальных острый количество люминесцирующих кристаллов увеличивалось от 4 до 9 при изменении длины вакуумного промежутка. Высказанные соображения подтверждались также в аналогичном эксперименте с графитовым катодом. Раздельное свечение кристаллов удавалось фиксировать при межэлектродных расстояниях меньше 3.5 мм. В частности, при $\zeta < 1$ мм люминесцировали один-два кристалла, причем не обязательно одни и те же.

Учитывая вышесказанное, оценим ток и энергию электронного пучка. Ток электронов с n -острийного эмиттера найдем из соотношения [3]:

$$i = A \kappa^{3/2} \sigma \tau_u l^{-1} n,$$

а энергию пучка электронов - из соотношения

$$h' = i \mathcal{E} \tau_{\mathcal{U}},$$

где $A = 3.7 \cdot 10^{-5}$ А/В $^{-3/2}$, \mathcal{U} - напряжение на электродах вакуумного диода, $v = 2 \cdot 10^6$ см/с - скорость расширения анодной плазмы. Для наших значений $\mathcal{U} = 2 \cdot 10^5$ В, $\mathcal{E} = 1.2 \cdot 10^5$ эВ, $\tau_{\mathcal{U}} = 3 \cdot 10^{-10}$ с, $l = 0.25$ см и $n = 9$ находим $W = 2$ мДж, $i = 60$ А, $j = 950$ А/см 2 для стального острыйного катода. Эти расчетные данные неплохо согласуются с экспериментальным результатами. Что касается графитового катода, то судя по энергии электронного пучка, можно предположить, что число эмиттирующих центров на его поверхности в 2-3 раза больше.

В заключение подчеркнем следующее. Показана возможность генерации субнаносекундных импульсов светового излучения в полупроводниковом кристалле, накачиваемом электронным пучком такой же длительности. Мощность и энергия излучения данного источника ограничиваются, в основном, низким коэффициентом передачи накопленной энергии в электронный пучок субнаносекундной длительности во взрывоэмиссионном вакуумном диоде.

Список литературы

- [1] Figner J.F., Sutplum H.D. // Appl. Phys. Lett. 1974. V. 25. N 11. P. 661-663.
- [2] Lavigne P., Gilhert J., Lachambre J.L. // Optic. Commun. 1975. N 2. P. 194-199.
- [3] Ковальчук В.М., Месяц Г.А., Шпак В.Г. В кн.: Разработка и применение интенсивных электронных пучков / Под ред. Г.А. Месяца. Новосибирск: Наука, 1976. С.179-181.
- [4] Урбазаев М.Н. Катодолюминесцентный источник излучения для оптической накачки лазеров. Препринт ИОА СО АН СССР. Томск, 1984, № 22. 18 с. Деп. № 6093-85 от 16.08.85.

Поступило в Редакцию
25 марта 1991 г.